

Sistema MC-CDMA com Cancelamento de Interferência Paralelo e Desvanecimentos Correlacionados na Freqüência

Bruno A. Angélico , Paul Jean E. Jeszensky e Taufik Abrão

Resumo—Este artigo analisa o desempenho de um sistema MC-CDMA assíncrono com Cancelamento de Interferência Paralelo, MC-CDMA-PIC. Ao contrário da análise usual, o desempenho do sistema é obtido considerando-se um canal Rayleigh com desvanecimentos correlacionados no domínio da freqüência. Adotou-se o método de simulação Monte Carlo e duas condições de canais diferentes foram consideradas, com bandas de coerência dadas por 1,0 e 5,0 MHz.

Palavras-Chave—MC-CDMA, Cancelamento de Interferência Paralelo, desvanecimentos correlacionados na freqüência.

Abstract—This paper analyzes the performance of an asynchronous MC-CDMA system with a Parallel Interference Cancellation scheme. On the contrary of usual analysis we have considered a Rayleigh channel model with frequency correlated fading. The Monte Carlo simulation method was used and two different channels were considered, with coherence bandwidth given by 1.0 and 5.0 MHz.

Keywords—MC-CDMA, Parallel Interference Cancellation, frequency correlated fading.

I. INTRODUÇÃO

Tendo em vista as gerações futuras de telefonia celular, a técnica de múltiplo acesso por divisão de código, CDMA (*Code Division Multiple Access*), tem mostrado ser capaz de superar as técnicas por divisão de tempo e de freqüência, TDMA e FDMA (*Time Division Multiple Access* e *Frequency Division Multiple Access*). As vantagens do uso do CDMA em relação às demais técnicas de múltiplo acesso são bem conhecidas [1]: privacidade na comunicação, habilidade de lidar com a natureza assíncrona do tráfego de dados, robustez ao canal seletivo em freqüência e a possibilidade de uma maior densidade de usuários ativos. Em sistemas FDMA e TDMA, a quantidade de usuários é limitada pela capacidade de alocação física dos assinantes no espectro de freqüência disponível e no número de *slots* temporais, respectivamente. Já no CDMA, a alocação dos assinantes não possui tais de restrições, sendo limitada apenas pela quantidade de interferência entre os usuários, MAI (*Multiple Access Interference*).

A utilização de modulação por multiportadoras ortogonais, OFDM (*Orthogonal Frequency Division Multiplexing*), é baseada na transmissão de dados de forma paralela em várias

Bruno A. Angélico e Paul Jean E. Jeszensky estão com a Escola Politécnica da Universidade de São Paulo, São Paulo, SP, Brasil; e-mails: angelico@lcs.poli.usp.br, pjj@lcs.poli.usp.br.

Taufik Abrão está com a Universidade Estadual de Londrina, Londrina, PR, Brasil; e-mail: taufik@uel.br.

O presente trabalho teve o suporte financeiro da Fundação de Amparo à Pesquisa do Estado de São Paulo - FAPESP.

subportadoras ortogonais, de forma a reduzir os efeitos nocivos do canal multipercorso, evitando a interferência intersimbólica, ISI (*Intersymbol Interference*), o que possibilita altas taxas de transmissão. Além disso, sua implementação pode ser dada de forma relativamente simples lançando-se mão dos recursos da Transformada Rápida de Fourier e de sua inversa [2], FFT e IFFT (*Fast Fourier Transform* e *Inverse Fast Fourier Transform*). Entretanto, algumas desvantagens são inerentes, tais como: dificuldade de sincronismo das subportadoras, sensibilidade aos desvios de freqüência e alta relação entre a potência de pico e a potência média do sinal transmitido, PAPR (*Peak-to-Average Power Ratio*).

No começo da década de 90, a combinação das técnicas OFDM e CDMA gerou os denominados sistemas CDMA Multiportadora [3]. Existem na literatura, basicamente, três técnicas de múltiplo acesso oriundas dessa combinação: MC-CDMA (*Multi-Carrier CDMA*), [4], MC-DS-CDMA Orthogonal (*Multi-Carrier Direct Sequence CDMA Orthogonal*), [5] e MT-CDMA (*Multi-Tone CDMA*), [6]. A principal motivação para o surgimento desses sistemas se deve à possibilidade de obtenção de maiores taxas de transmissão e à redução dos efeitos nocivos do canal de rádio móvel seletivo em freqüência.

Este artigo concentra-se na técnica MC-CDMA, em que o espalhamento espectral característico dos sistemas CDMA é processado no domínio da freqüência, de forma diferenciada do sistema DS-CDMA (*Direct Sequence CDMA*) e das demais técnicas CDMA Multiportadora. Para amenizar os efeitos da MAI no enlace reverso, um esquema de cancelamento de interferência paralelo, PIC (*Parallel Interference Cancellation*) foi adotado, [7], [8]. O desempenho do sistema MC-CDMA com PIC (MC-CDMA-PIC) foi obtido por simulação Monte Carlo.

Este trabalho está organizado da seguinte forma: na seção II faz-se uma descrição do modelo de canal empregado na simulação. Na seção III o sistema MC-CDMA é descrito. A seção IV traz os resultados de simulação do sistema obtidos para as condições de canal empregadas. Por fim, na seção V são apresentadas as principais conclusões deste estudo.

II. MODELO DE CANAL

Para determinar o desempenho de sistemas com modulação em múltiplas portadoras, pode-se empregar um modelo de canal com amostras na freqüência. Considerando um canal não-seletivo em freqüência em cada sub-banda, tal modelo consiste em um grupo de N coeficientes de desvanecimento,

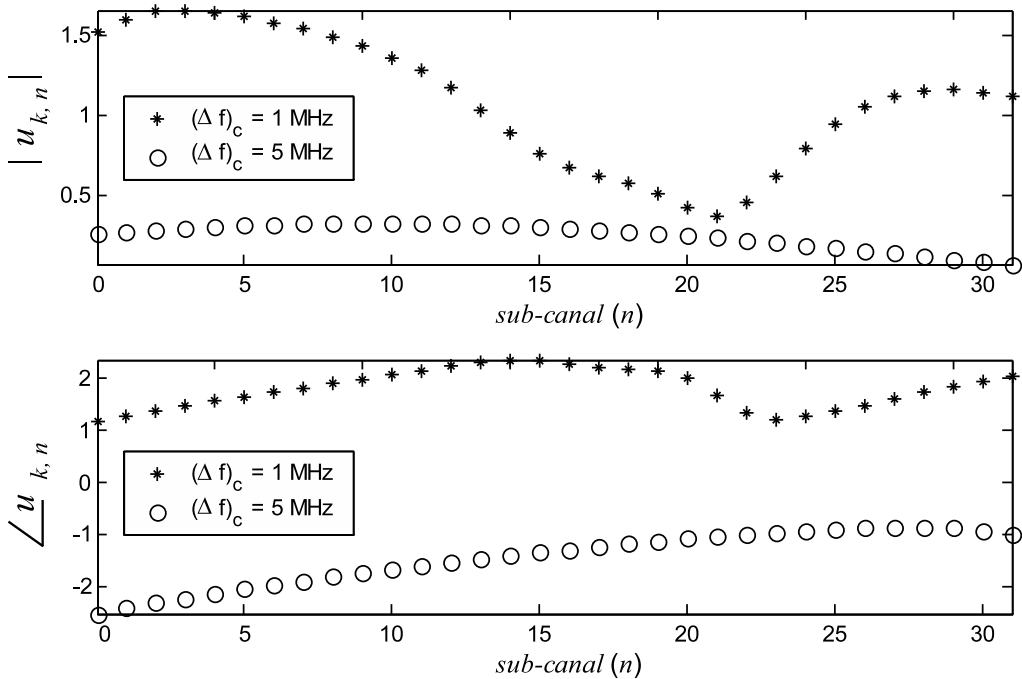


Fig. 1. Módulo e fase dos coeficientes.

um para cada uma das N subportadoras. A correlação dos desvanecimentos entre os sub-canais depende da banda de coerência do canal e do espaçamento de freqüência usado no processo de modulação.

Adotando-se valor médio quadrático do espalhamento de multipercurso do canal, $\tau_{RMS} = \frac{1}{2\pi \cdot (\Delta f)_c}$, com $(\Delta f)_c$ representando a banda de coerência do canal e assumindo-se um perfil de atraso-potência exponencialmente decrescente, a função de correlação complexa entre a n -ésima e a m -ésima subportadora do canal pode ser dada por, [9]:

$$\Phi_{n,m} = \frac{\frac{1+jh\frac{\Delta f}{(\Delta f)_c}}{1+h^2\left(\frac{\Delta f}{(\Delta f)_c}\right)^2}}{h = m-n} \quad (1)$$

onde $j = \sqrt{-1}$. Na equação (1) considerou-se, adicionalmente, potência unitária do sinal e espaçamento constante entre subportadoras adjacentes, dado por Δf . Em um canal *Rayleigh*, as componentes em fase e quadratura são variáveis aleatórias *Gaussianas*. O modelo de canal para o k -ésimo usuário consiste em um vetor $\mathbf{u}_k = [u_{k,0}, u_{k,1}, \dots, u_{k,N-1}]^T$ com N componentes correlacionadas. O elemento $u_{k,n}$ corresponde ao efeito de canal introduzido na n -ésima subbanda do k -ésimo usuário. Um método para gerar \mathbf{u}_k consiste em definir um vetor $\mathbf{g}_k = [g_{k,0}, g_{k,1}, \dots, g_{k,N-1}]^T$ com N componentes complexas *Gaussianas* com média 0 e variância $\frac{1}{2}$, independentes e identicamente distribuídas (i.i.d), tal que, [10]:

$$\mathbf{u}_k = \mathbf{A} \cdot \mathbf{g}_k, \quad (2)$$

onde \mathbf{A} é uma matriz $N \times N$ dada por:

$$\mathbf{A} = \mathbf{V} \cdot \sqrt{\mathbf{Z}}, \quad (3)$$

onde \mathbf{V} e \mathbf{Z} representam, respectivamente, a matriz cujas colunas são formadas pelos autovetores da matriz de correlação $\Phi_u = [\Phi_{n,m}]$ obtida pela equação (1) e a matriz diagonal formada pelos autovalores de Φ_u .

Em suma, para gerar o vetor \mathbf{u}_k de coeficientes do canal multiportadora, basta criar um vetor aleatório *Gaussiano* complexo \mathbf{g}_k de forma que a média e a variância das componentes em fase e quadratura sejam 0 e $\frac{1}{2}$, respectivamente, e multiplicá-lo pela matriz \mathbf{A} . Um outro método para geração de amostras de canal correlacionadas, baseado na decomposição de *Cholesky*, é apresentado em [11].

A Figura 1 ilustra um exemplo do modelo de canal gerado para $\Delta f = 100kHz$ e $N = 32$. Note que, quanto maior a banda de coerência do canal, maior o grau de correlação entre dois sub-canais.

III. SISTEMA MC-CDMA PROPOSTO

No esquema MC-CDMA, um mesmo símbolo com duração T_s é transmitido em N ramos paralelos. Em cada ramo, multiplica-se um *chip* da seqüência de espalhamento $\mathbf{c}_k(t) = [c_{k,0}, c_{k,1}, \dots, c_{k,N-1}]$ de comprimento N , caracterizando o espalhamento no domínio da freqüência. Os resultados dessas multiplicações modulam diferentes subportadoras ortogonais separadas por $1/T_s Hz$. Para reproduzir os efeitos do canal no domínio da freqüência, o modelo de canal multiportadora é introduzido no transmissor logo após o espalhamento espectral. A figura 2 ilustra o esquema de transmissão para o sistema proposto considerando o usuário k .

A figura 3 representa um esboço do espectro do sinal transmitido em um sistema MC-CDMA. Há uma sobreposição lateral dos lóbulos de freqüência adjacentes, resultando em um ganho efetivo na taxa total de transmissão.

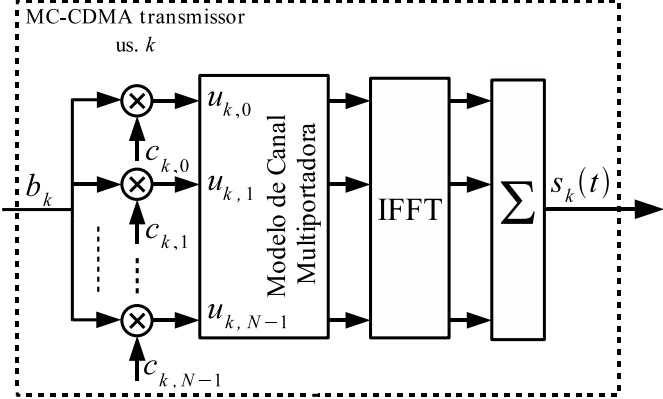


Fig. 2. Transmissão no sistema MC-CDMA.

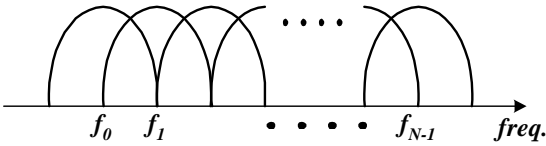


Fig. 3. Espectro do sinal MC-CDMA transmitido com sobreposição de 50% das sub-bandas.

O sinal recebido correspondente ao k -ésimo usuário em um sistema com população de K usuários é dado por:

$$r(t) = \sum_{i=-\infty}^{\infty} \sqrt{\frac{2P}{N}} \sum_{k=0}^{K-1} \sum_{n_1=0}^{N-1} b_k(i) \cdot \beta_{k,n_1} \cdot c_{k,n_1} \cdot u_{T_s}(t-iT_s-\zeta_k) \cdot \cos(\omega_{n_1} t + \phi_{k,n_1}) + \eta(t), \quad (4)$$

onde P é a potência do sinal transmitido, $b_k(i)$, o i -ésimo símbolo de informação, β_{k,n_1} ($\beta_{k,n_1} = |u_{k,n_1}|$), a distorção em amplitude imposta pelo canal, $\omega_{n_1} = \omega_c + 2\pi \left(\frac{n_1}{T_s} \right)$, a freqüência de transmissão da n_1 -ésima subportadora; ω_c representa a freqüência da portadora (responsável por levar o sinal à banda-passante) e $\eta(t)$, o ruído AWGN (Additive White Noise) com densidade espectral de potência dada por $N_0/2$. O termo ϕ_{k,n_1} é dado por:

$$\phi_{k,n_1} = \theta_k + \varphi_{k,n_1} - \omega_{n_1} \zeta_k, \quad (5)$$

com θ_k representando a fase atribuída ao k -ésimo usuário, ζ_k , o atraso do k -ésimo usuário, uniformemente distribuído (u.d.) no intervalo $[0, T_s]$ e φ_{k,n_1} ($\varphi_{k,n_1} = \angle u_{k,n_1}$), a distorção de fase introduzida pelo canal, u.d. em $[0, 2\pi]$.

A figura 4 ilustra o esquema de recepção convencional para o usuário k . O termo $d_{k,n}$ representa o ganho da n -ésima portadora do k -ésimo usuário e depende da regra de combinação escolhida [3], [12].

Na recepção foram consideradas estimativas perfeitas para os parâmetros de canal. A regra de combinação adotada foi a MRC (Maximum Ratio Combining), de forma que:

$$d_{k,n} = c_{k,n} \cdot \hat{\rho}_{k,n}^*, \quad (6)$$

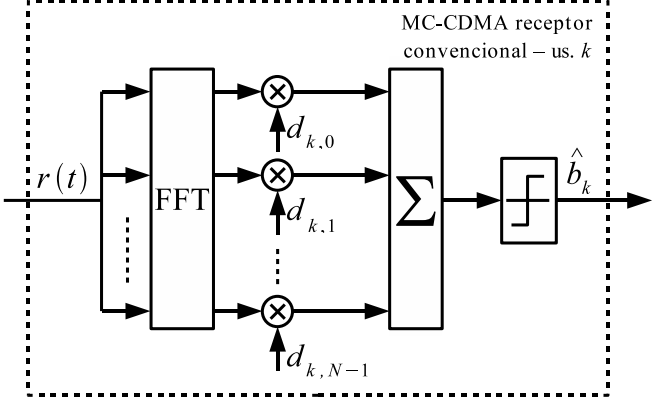


Fig. 4. Recepção convencional no sistema MC-CDMA.

onde $\hat{\rho}_{k,n}^*$ (nesse caso $\hat{\rho}_{k,n} = u_{k,n}$) representa o conjugado do coeficiente complexo de canal estimado para a n -ésima subportadora do k -ésimo usuário.

O atraso entre os usuários também foi considerado perfeitamente estimado. Sem perda de generalidade, o usuário k é assumido como o de interesse. Assim, a variável de decisão para esse usuário é dada por:

$$Z_k = \sum_{n_2=0}^{N-1} d_{k,n_2} \cdot \frac{1}{T_s} \int_0^{T_s} r(t) \cdot \cos(\omega_{n_2} t + \phi_{k,n_2}) dt \quad (7)$$

A variável Z_k pode ser dividida em três partes:

$$Z_k = D_k + \mathcal{N}_k + \mathcal{I}_k, \quad (8)$$

onde D_k representa a informação desejada, \mathcal{N}_k , o ruído AWGN e \mathcal{I}_k , a interferência dos demais usuários. Considerando modulação BPSK com $b_k(0) = 1$, tem-se:

$$D_k = \sqrt{\frac{P}{2N}} \cdot \sum_{n_1=0}^{N-1} d_{k,n_1} \cdot c_{k,n_1} \cdot \beta_{k,n_1} \quad (9)$$

$$\mathcal{N}_k = \sum_{n_1=0}^{N-1} d_{k,n_1} \cdot \frac{1}{T_s} \int_0^{T_s} \eta(t) \cdot \cos(\omega_{n_1} t + \phi_{k,n_1}) dt \quad (10)$$

$$\begin{aligned} \mathcal{I}_k = & \sqrt{\frac{P}{2N}} \sum_{n_2=0}^{N-1} d_{k,n_2} \cdot \frac{1}{T_s} \sum_{k=1}^{K-1} \sum_{n_1=0}^{N-1} \left[\int_0^{\zeta_k} b_k(-1) \cdot \beta_{k,n_1} \cdot c_{k,n_1} \right. \\ & \cdot \cos(\omega_{n_2} t + \phi_{k,n_2}) \cdot \cos(\omega_{n_1} t + \phi_{k,n_1}) dt + \int_{\zeta_k}^{T_s} b_k(0) \cdot \beta_{k,n_1} \cdot c_{k,n_1} \\ & \cdot \cos(\omega_{n_2} t + \phi_{k,n_2}) \cdot \cos(\omega_{n_1} t + \phi_{k,n_1}) dt \left. \right] \end{aligned} \quad (11)$$

O receptor multi-usuário MC-CDMA-PIC proposto para o k -ésimo usuário é ilustrado na figura 5. O estágio 0 (stg $p = 0$) representa a recepção convencional apresentada na figura 4. Os estágios 1 (stg $p = 1$) e 2 (stg $p = 2$) representam o primeiro e o segundo estágios de cancelamento PIC, respectivamente. Nesse esquema, o símbolo de informação estimado em um estágio anterior é usado para reconstruir a MAI a ser cancelada no estágio atual. Em todos os p estágios de cancelamento

foram consideradas decisões abruptas (*hard decision*) para estimar os símbolos transmitidos. O termo \hat{b}_k^p , $p = 0, 1, 2$, representa a informação recuperada do k -ésimo usuário no p -ésimo estágio PIC, dada por:

$$\hat{b}_k^p = \text{sign}(Z_k^p), \quad (12)$$

onde $\text{sign}(\cdot)$ representa a função sinal e Z_k^p , a variável de decisão para o k -ésimo usuário no p -ésimo estágio PIC, dada por:

$$Z_k^p = \sum_{n_2=0}^{N-1} d_{k,n_2} \cdot \frac{1}{T_s} \int_0^{T_s} (r(t) - MAI_k^p(t)) \cdot \cos(\omega_{n_2} t + \phi_{k,n_2}) dt \quad (13)$$

Teoricamente, a MAI reconstruída para o k -ésimo usuário que será subtraída do sinal recebido no p -ésimo estágio PIC, $MAI_k^p(t)$, é representada por:

$$MAI_k^p(t) = \sum_{i=-\infty}^{\infty} \sqrt{\frac{2P}{N}} \sum_{k'=0}^{K-1} \sum_{n=0}^{N-1} \hat{b}_{k'}^{p-1}(i) \cdot \beta_{k',n} \cdot c_{k',n} \cdot u_{T_s}(t-iT_s - \zeta_{k'}) \cdot \cos(\omega_n t + \phi_{k',n}) + \eta(t), \quad (14)$$

Na prática, se as estimativas forem confiáveis, a variância de Z_k^p tende a ser menor com o aumento do número de estágios, o que reduz a probabilidade de erro do sistema. Considerando uma aproximação *Gaussiana* para a MAI, a probabilidade de erro de bit para o k -ésimo usuário no p -ésimo estágio de cancelamento é dada pela seguinte expressão:

$$Pe_k^p = Q \left(\frac{D_k}{\sqrt{Var[\mathcal{N}_k] + Var[\mathcal{I}_k^p]}} \right), \quad (15)$$

onde \mathcal{I}_k^p é a parcela de Z_k^p correspondente à interferência de múltiplo acesso. A probabilidade de erro de bit média considerando os K usuários do sistema no p -ésimo estágio de cancelamento é dada por:

$$Pe^p = \frac{1}{K} \cdot \sum_{k=0}^{K-1} Pe_k^p \quad (16)$$

Na equação (15), o termo $Var[\mathcal{N}_k]$ é dado por:

$$Var[\mathcal{N}_k] = \frac{N_0}{4 \cdot T_s} \cdot \sum_{n=0}^{N-1} d_{k,n}^2 \quad (17)$$

IV. SIMULAÇÕES

O sistema MC-CDMA-PIC foi simulado para o enlace reverso. Modulação BPSK foi considerada com $N = 32$ subportadoras e $\Delta f = 100kHz$. A discrepância de potência entre os usuários não foi levada em conta, ou seja, adotou-se controle perfeito de potência. Empregou-se o conjunto de seqüências de espalhamento de *Walsh-Hadamard* com comprimento 32 e o atraso entre os usuários foi considerado uniformemente distribuído no intervalo $[0, T_s]$.

Ao contrário dos outros esquemas MC-CDMA associando PIC presentes na literatura, [7], [8], o desempenho do sistema foi obtido para um modelo de canal com desvanecimentos correlacionados na freqüência, segundo o apresentado na seção

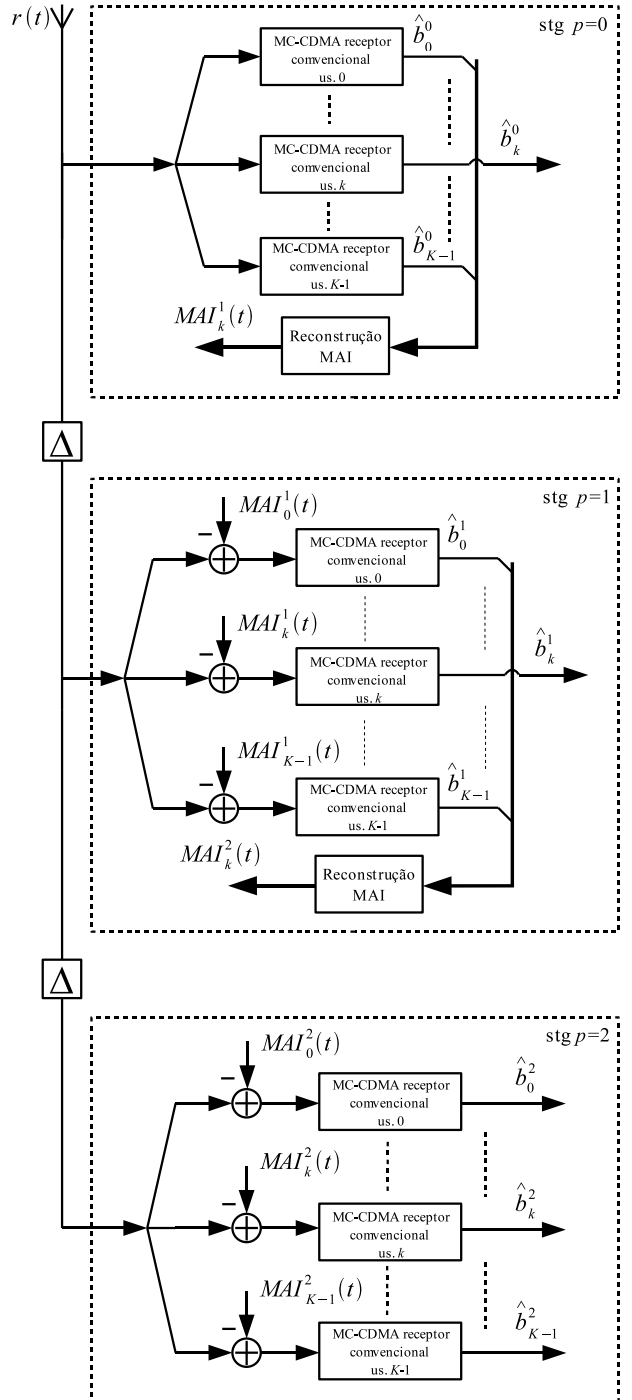


Fig. 5. Sistema MC-CDMA-PIC proposto.

II. Dois canais diferentes foram considerados com bandas de coerência dadas por $(\Delta f)_c = 1,0$ e $5,0MHz$. Como já salientado, foram assumidas estimativas perfeitas de canal ($\hat{\rho}_k^i = u_k^i$), assim como do atraso entre os usuários.

O método de simulação Monte Carlo foi adotado e o desempenho do sistema foi obtido em termos de probabilidade de erro de bit, BER (*bit error rate*), variando a relação E_b/N_0 . As figuras 6 a 8 sintetizam resultados de desempenho representativos para o sistema MC-CDMA-PIC, obtidos para $k = 4, 8$ e 16 usuários, respectivamente.

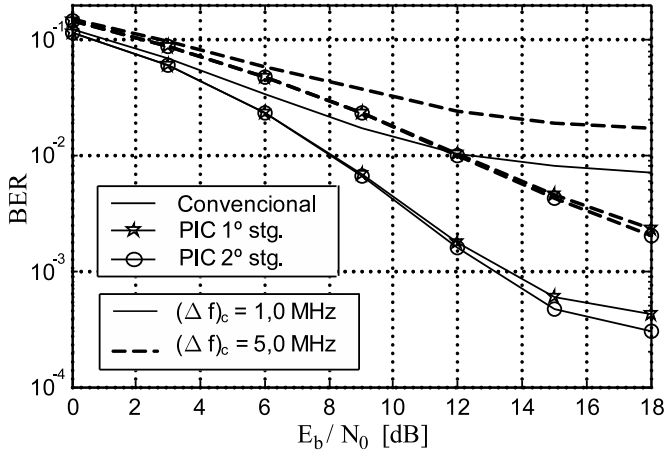


Fig. 6. Desempenho do sistema para $K = 4$ usuários.

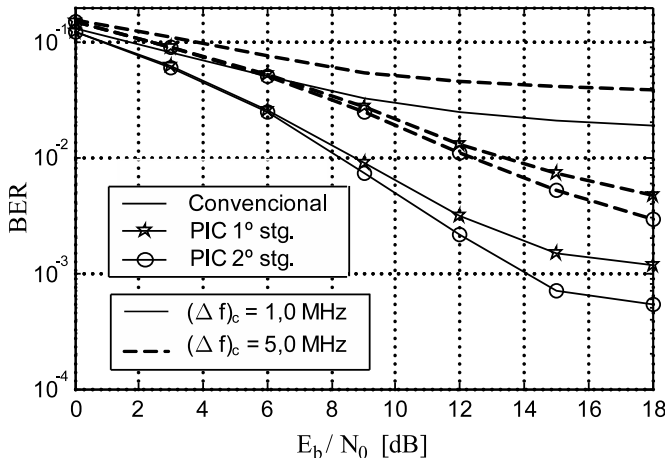


Fig. 7. Desempenho do sistema para $K = 8$ usuários.

Note-se que a BER média do sistema será tão menor quanto menor for a banda de coerência do canal (neste caso $(\Delta f)_c = 1 \text{ MHz}$), pois quanto maior a seletividade em freqüência, maior o ganho de diversidade. Adicionalmente, pode-se verificar que o esquema PIC produz uma melhoria significativa no desempenho do sistema, mostrando que o mesmo é seriamente afetado pela MAI. Outra observação importante é que a diferença entre os desempenhos com um e dois estágios de cancelamento PIC é mais visível na condição de alto carregamento, onde a interferência de múltiplo acesso torna-se predominante.

A adoção de técnicas de decisão suave (*soft decision*) ao invés de abrupta nos estágios intermediários de cancelamento de interferência, tais como zona nula e tangente hiperbólico, pode melhorar ainda mais o desempenho alcançado pelo sistema MC-CDMA-PIC em canais com desvanecimentos correlacionados, como aqui analisados.

V. CONCLUSÕES

Neste trabalho analisou-se, através do método de simulação Monte Carlo, o desempenho de um sistema MC-CDMA com cancelamento de interferência paralelo de 2 estágios com decisão abrupta nos estágios intermediários considerando o

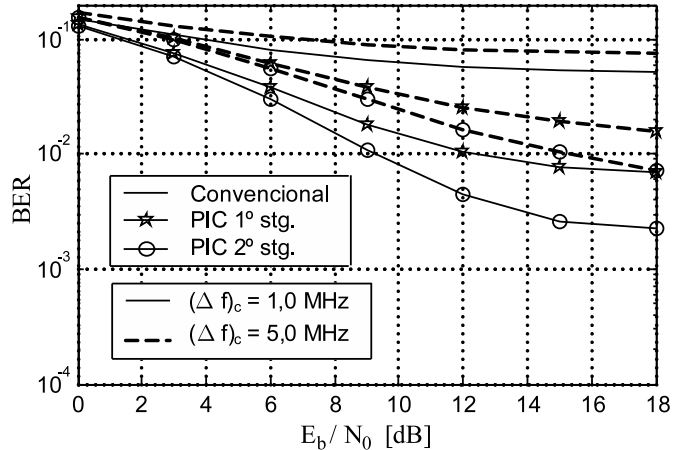


Fig. 8. Desempenho do sistema para $K = 16$ usuários.

enlace reverso e um modelo de canal com desvanecimentos correlacionados na freqüência. Os resultados obtidos mostram que o efeito da MAI no enlace reverso degrada o desempenho do sistema, tornando necessária a utilização de alguma técnica de recepção multi-usuário.

A estrutura MC-CDMA-PIC proposta produz uma melhora considerável no desempenho. Quando o número de usuários é grande, dois estágios PIC são recomendados. Devido à maior seletividade em freqüência, a probabilidade de erro é menor quando se considera o canal com $(\Delta f)_c = 1 \text{ MHz}$.

REFERÊNCIAS

- [1] P. Jung, P. W. Baier and A. Stell, "Advantages of CDMA and Spread Spectrum Techniques over FDMA and TDMA in Cellular Mobile Radio Applications", *IEEE Transactions on Vehicular Technology*, vol. 42, pp. 357-364, August 1993.
- [2] S. B. Weinstein; P. M. Ebert, "Data Transmission by Frequency Division Multiplexing using the Discrete Fourier Transform", *IEEE Trans. Commun. Technol.*, vol. COM-19, pp. 628-634, October, 1971.
- [3] R. Prasad; S. Hara, "An Overview of Multi-Carrier CDMA", *IEEE Communications Magazine*, pp. 126-133, December 1997.
- [4] N. Yee, J. P. Linnartz and G. Fettweis, "Multi-Carrier CDMA in Indoor Wireless Radio Networks", in *Proc. PIMRC '93*, Yokohama, Japan, pp. 109-113, September 1993.
- [5] V. M. DaSilva and E. S. Sousa, "Performance of Orthogonal CDMA Codes for Quasi-Synchronous Communication Systems", in *Proc. of IEEE ICUP '93*, Ottawa, Canada, pp. 995-999, October 1993.
- [6] L. Vandendorpe, "Multitone Direct Sequence CDMA System in an Indoor Wireless Environment", in *Proc. First IEEE Benelux Symp. on Comm. & Vehic. Techn.*, Delft, The Netherlands, October 1993.
- [7] H. K. Park, E. B. Kim, Y. W. Lee and K. H. Tchah, "Multi-carrier CDMA System with Parallel Interference Cancellation for Multipath Fading Channels", in *Proc. PIRMRC' 98*, pp. 513-517, September 1998.
- [8] T. Hesse and W. Schulz, "Parallel Interference Cancellation Applied to an Asynchronous MC-CDMA system", in *Vehicular Technology Conference - VTC*, vol. 2, pp. 689-693, May 2002.
- [9] N.C. Beaulieu and M.L. Merani, "Efficient Simulation of Correlated Diversity Channels", in *IEEE Wireless Communications and Networking Conference WCNC*, pp. 207-210, September 2000.
- [10] B. A. Angélico, P. J. E. Jeszensky e T. Abrão, "Desempenho de um Sistema MC-CDMA em Canal com Desvaneimentos Rayleigh Correlacionados na Freqüência", *Revista Científica Periódica - Telecomunicações - INATEL*, vol. 6, pp. 1-8, Dezembro 2003.
- [11] B. Natarajan, C. R. Nassar and V. Chandrasekhar, "Generation of Correlated Rayleigh Fading Envelopes for Spread Spectrum Applications", *IEEE Communications Letters*, vol. 4, pp. 9-11, January 2000.
- [12] F. Kleer, S. Hara and R. Prasad, chap 7 - *Detection Strategies and Cancellation Schemes in a MC-CDMA System*. in: *CDMA Techniques for Third Generation Mobile Systems*, Kluwer Academic Publishers, 1999.